

第11章 特征值与奇异值

苏 芮

srhello@zju.edu.cn

开物苑4-202

10.1 特征值与奇异值分解

方阵 A 的一组特征值(eigenvalue)和特征向量(eigenvector)是一个标量 λ 和一个非零向量 x ，它们满足

$$Ax = \lambda x$$

方阵的特征值-特征向量方程可以写成

$$(A - \lambda I)x = 0, x \neq 0$$

这意味着 $A - \lambda I$ 是奇异的，因此有

$$\det(A - \lambda I) = 0$$

特征值的这种定义就是矩阵 A 的特征方程(characteristic equation)或者特征多项式(characteristic polynomial)，不直接涉及对应的特征向量。特征多项式的次数等于矩阵的阶数。这表示一个 $n \times n$ 的矩阵有 n 个特征值，其中重复的特征值也要计数。和行列式本身一样，特征多项式在理论研究和手算中都是非常有用的，但是不能为鲁棒的数值计算软件提供一个坚实的基础。

令 $\lambda_1, \lambda_2, \dots, \lambda_n$ 为矩阵 **A** 的特征值, x_1, x_2, \dots, x_n 为对应的特征向量组, 又令 Λ 是

以 λ_n 为对角元的 $n \times n$ 对角阵, 再令矩阵 **X** 是由 x_j 为其第 j 列的 $n \times n$ 矩阵, 那么则有:

$$AX = X\Lambda$$

对应矩阵 **A**=[1,5;2,4], 其特征值为 $\lambda_1=-1, \lambda_2=6$, 特征向量 $x_1=[-0.928476690885259; 0.371390676354104], x_2=[-0.707106781186547; -0.707106781186547],$

X=[-0.928476690885259, -0.707106781186547; 0.371390676354104, -0.707106781186547]

Lambda=[-1,0;0,6];

上述公式就变成了:

$$\begin{bmatrix} 1 & 5 \\ 2 & 4 \end{bmatrix} \begin{bmatrix} -0.9284 & -0.7071 \\ 0.37139 & -0.7071 \end{bmatrix} = \begin{bmatrix} -0.9284 & -0.7071 \\ 0.37139 & -0.7071 \end{bmatrix} \begin{bmatrix} 1 & 0 \\ 0 & -6 \end{bmatrix}$$

$$\mathbf{A} * \mathbf{X} = \mathbf{X} * \mathbf{Lambda}$$

上述公式就变成了:

A*X

ans =

0.9285	-4.2426
-0.3714	-4.2426

X*Lambda

ans =

0.9285	-4.2426
-0.3714	-4.2426

10.1 特征值与奇异值分解

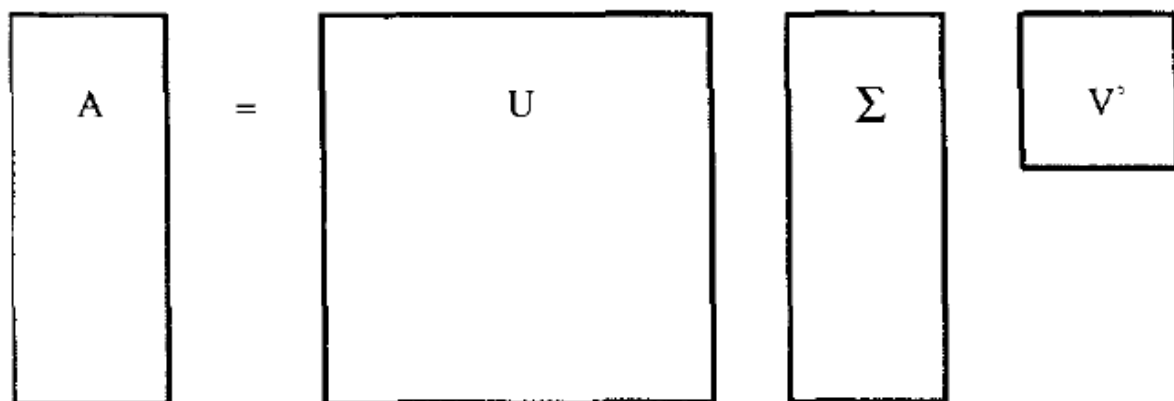
奇异向量总可以被选择彼此正交，以使得其列为规范向量矩阵 U 和 V 满足 $U^H U = I$ 和 $V^H V = I$ ，换句话说， U 和 V 均为实矩阵时，他们都是正交矩阵(orthogonal matrix)，为复矩阵时，它们都是酉矩阵(unitary matrix)，于是有：

$$AV = U\Sigma \rightarrow AVV^{-1} = U\Sigma V^{-1} \rightarrow A = U\Sigma V^{-1} = U\Sigma V^H$$

这称为矩阵 A 的奇异值分解 (Singular Value Decomposition),记作 SVD。

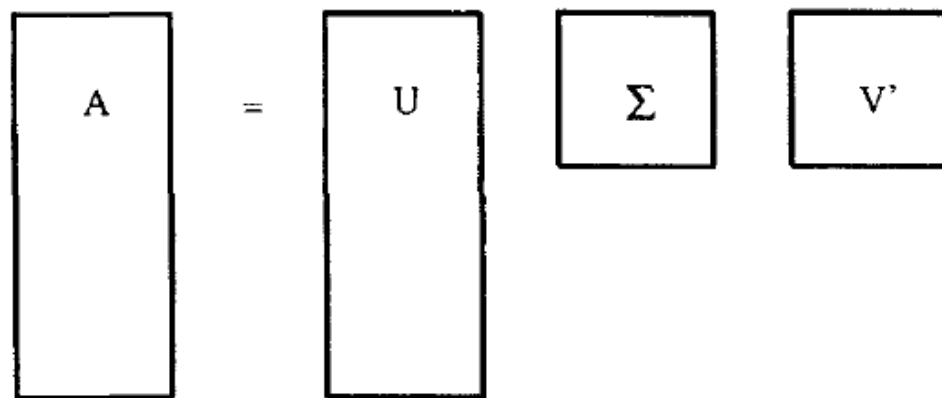
若 A 是一个 $m \times n$ 矩阵，并且 $m > n$ ，完整型 SVD 分解中， U 是 $m \times m$ 矩阵， Σ 是 $m \times n$ 主对角阵， V' 是 $n \times n$ 矩阵。节省内存的 SVD 形式称为紧凑型(economy-sized) SVD，在紧凑型的 SVD 中，只计算前 n 列和 Σ 的前 n 行， V' 是 $n \times n$ 矩阵。图中显示了两两种形式的形状。

10.1 特征值与奇异值分解



A diagram illustrating the full Singular Value Decomposition (SVD) of a matrix A . The matrix A is represented by a tall rectangle on the left. To its right is an equals sign. Further right is a large square representing the orthogonal matrix U . To the right of U is a tall rectangle representing the diagonal matrix Σ . To the right of Σ is a small square representing the orthogonal matrix V^T .

$$A = U \Sigma V^T$$



A diagram illustrating the reduced Singular Value Decomposition (SVD) of a matrix A . The matrix A is represented by a tall rectangle on the left. To its right is an equals sign. Further right is a tall rectangle representing the orthogonal matrix U . To the right of U is a small square representing the diagonal matrix Σ . To the right of Σ is a small square representing the orthogonal matrix V^T .

$$A = U \Sigma V^T$$

图 10-1 完全和简化的 SVD

10.2 一个简单的例子

$$\det(A - \lambda I) = \lambda^3 - 6\lambda^2 + 11\lambda - 6 = (\lambda - 1)(\lambda - 2)(\lambda - 3)$$

$$\Lambda = \begin{pmatrix} 1 & 0 & 0 \\ 0 & 2 & 0 \\ 0 & 0 & 3 \end{pmatrix}$$

使用测试矩阵，
运行：

A=gallery(3)

A =

-149 -50 -154
537 180 546
-27 -9 -25

特征向量矩阵被规范化使其元素均为整数(第一列向量乘 **3.16**，第二列向量乘以大约 **10**，第三列向量乘以大约**-50**)

$$X = \begin{pmatrix} 1 & -4 & 7 \\ -3 & 9 & -49 \\ 0 & 1 & 9 \end{pmatrix}$$

$$X^{-1} = \begin{pmatrix} 130 & 43 & 133 \\ 27 & 9 & 28 \\ -3 & -1 & -3 \end{pmatrix}$$

10.2 一个简单的例子

$$\det(A - \lambda I) = \lambda^3 - 6\lambda^2 + 11\lambda - 6 = (\lambda - 1)(\lambda - 2)(\lambda - 3)$$

$$\Lambda = \begin{pmatrix} 1 & 0 & 0 \\ 0 & 2 & 0 \\ 0 & 0 & 3 \end{pmatrix}$$

特征向量矩阵被规范化使其元素均为整数(第一列向量乘 **3.16**, 第二列向量乘以大约 **10**, 第三列向量乘以大约**-50**)

$$X = \begin{pmatrix} 1 & -4 & 7 \\ -3 & 9 & -49 \\ 0 & 1 & 9 \end{pmatrix}$$

$$X^{-1} = \begin{pmatrix} 130 & 43 & 133 \\ 27 & 9 & 28 \\ -3 & -1 & -3 \end{pmatrix}$$

使用测试矩阵, 运行:

A=gallery(3)

A =

-149 -50 -154
537 180 546
-27 -9 -25

以上这些矩阵给出了这个例子的特征值分解:

$$A = X\Lambda X^{-1}$$

这个矩阵的 **SVD** 不能通过一些小整数简洁的表示出来, 它的奇异值是下面这个方程的所有正根:

$$\sigma^6 - 668737\sigma^4 + 4096316\sigma^2 - 36 = 0$$

10.2 一个简单的例子

我们直接使用SVD命令从矩阵A中求奇异值。

A=gallery(3)

A =

-149 -50 -154

537 180 546

-27 -9 -25

[U,S,V]=svd(A)

U =

-0.2691 -0.6798 0.6822

0.9620 -0.1557 0.2243

-0.0463 0.7167 0.6959

S =

817.7597 0 0

0 2.4750 0

0 0 0.0030

V =

0.6823 -0.6671 0.2990

0.2287 -0.1937 -0.9540

0.6944 0.7193 0.0204

注意gallery(3)这个矩阵的特征值1,2,3和奇异值817,2.47,0.03之间存在巨大的差别，这种差别的产生，主要是由于该矩阵的对称性很差导致。

10.3 eigshow

Eigshow 是一个演示程序，演示矩阵及其特征值的关系：

默认的矩阵是 $A=[1/4 \ 3/4; 1 \ 1/2]$

我们直接求它的特征值和特征向量

$[V,D]=\text{eig}(A)$

$V =$

$\begin{bmatrix} -0.7071 & -0.6000 \\ 0.7071 & -0.8000 \end{bmatrix}$

$D =$

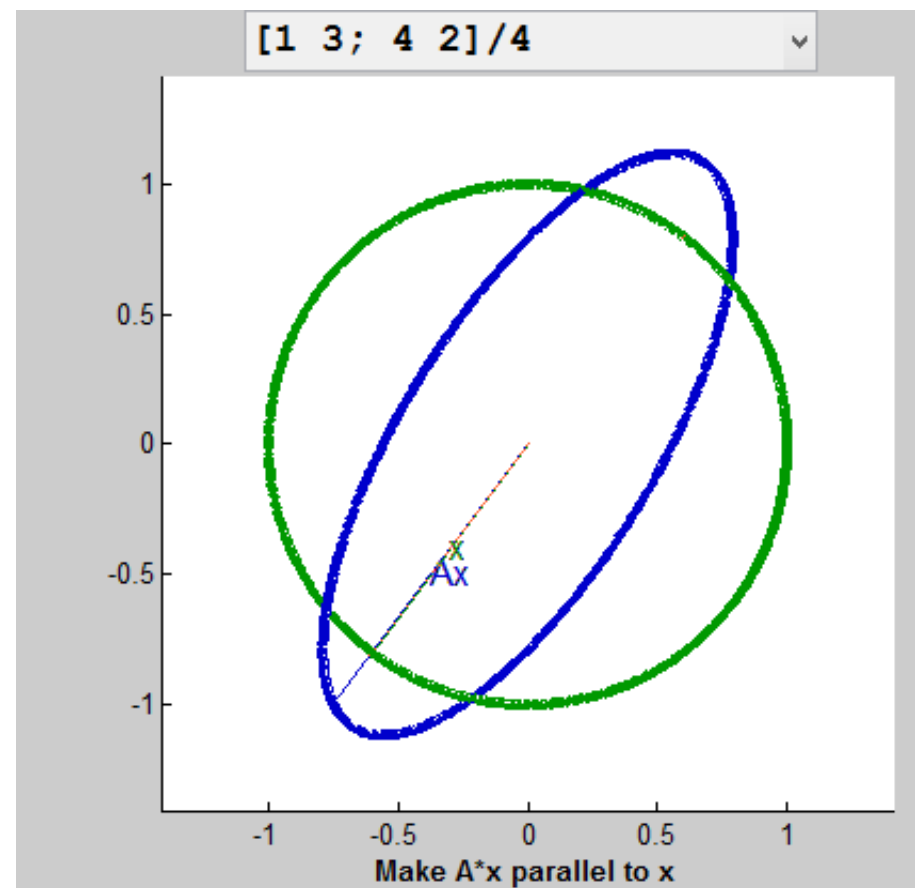
$\begin{bmatrix} -0.5000 & 0 \\ 0 & 1.2500 \end{bmatrix}$

也就是一个特性向量 $x_1 = \begin{bmatrix} -0.7071 \\ 0.7071 \end{bmatrix}$ ，特征值 $\lambda_1 = -0.5$

另一个特性向量 $x_2 = \begin{bmatrix} -0.6000 \\ -0.8000 \end{bmatrix}$ ，特征值 $\lambda_2 = 1.25$

而我们要求的是 $[A]\{X\} = \lambda\{X\}$

这里假设我有一个初始的 $x=[1,0]'$ ，反复选择 x ，然后按照运算规则 Ax 向量也在旋转，其实我们要求的就是看当 x 取到什么值的时候， Ax 和 x 本身平行



我们可以看到当 $x=[-0.6;-0.8]$ 的时候，它们是平行的，这个时候 x 就是其特征向量，特征值就是 Ax 和 x 长度的比值，大约等于 1.25，和前面求出来的特征值相符合。

10.4 特征多项式

令 A 是一个 20×20 的对角矩阵，其对角线上的元素分别为 $1, 2, \dots, 20$ ，显然， A 的特征值就是其对角线上的元素，但是，它的特征多项式 $\det(A - \lambda I)$ 却是：

$$\begin{aligned} & \lambda^{20} - 210\lambda^{19} + 20615\lambda^{18} - 1256850\lambda^{17} + 53327946\lambda^{16} \\ & - 1672280820\lambda^{15} + 40171771630\lambda^{14} - 756111184500\lambda^{13} \\ & + 11310276995381\lambda^{12} - 135585182899530\lambda^{11} \\ & + 1307535010540395\lambda^{10} - 10142299865511450\lambda^9 \\ & + 63030812099294896\lambda^8 - 311333643161390640\lambda^7 \\ & + 1206647803780373360\lambda^6 - 3599979517947607200\lambda^5 \\ & + 8037811822645051776\lambda^4 - 12870931245150988800\lambda^3 \\ & + 13803759753640704000\lambda^2 - 8752948036761600000\lambda \\ & + 2432902008176640000 \end{aligned}$$

其中 $-\lambda^{19}$ 的系数为 210 ，是所有特征值的和， λ^0 的系数为 $20!$ ，也就是所有特征值的积，

其他的系数都是特征值积的各种和。其实就是 $(x-a)(x-b) = x^2 - (a+b)x + ab$ 的扩展而已。

10.4 特征多项式

我们给出多项式的所有系数是为了强调，用它们进行任何浮点运算都可能引入很大的舍入误差，使用 IEEE 的浮点数会改变其中的五个值，例如 λ^4 系数的最后三位数字就会从 **776** 变到 **392**，对于 **16** 位有效数字，用浮点表示系数得到的该多项式根的准确值如下：

```
1.0000000000000000
2.0000000000000096
2.999999999986640
4.000000000495944
4.99999991473414
6.00000084571661
6.99999455544845
8.00002443256894
8.99992001186835
10.00019696490537
10.99962843024064
12.00054374363591
12.99938073455790
14.00054798867380
14.99962658217055
16.00019208303847
16.99992773461773
18.00001875170604
18.99999699774389
20.00000022354640
```

我们发现，使用双精度浮点数来存储这个特征多项式的系数，改变的某些特征值的计算值在第五位有效数字之内。

这个特殊的多项式是由J.H.Wilkinson在1960年提出，他对这个多项式设置的扰动与我们不同，但是他的观点和我们相同，就是通过幂形式来表示多项式的方法，对于通过多项式求根或者对应矩阵的特征值是不能令人满意的。

10.5 对称矩阵和埃米尔特(Hermitian)矩阵

若实矩阵与其自身的转置相等, 即 $\mathbf{A}=\mathbf{A}^T$, 那么该矩阵是对称的。若复矩阵与其自身的共轭转置相等, 即 $\mathbf{A}=\mathbf{A}^H$, 则称它是埃尔米特矩阵。实对称 (Symmetric Matrix) 的特征值和特征向量都是实的, 特征向量矩阵可被选择为正交阵, 若实矩阵 $\mathbf{A}=\mathbf{A}^T$, 那么其特征值分解为:

$$\mathbf{A} = \mathbf{X}\mathbf{\Lambda}\mathbf{X}^T$$

其中有 $\mathbf{X}\mathbf{X}^T = \mathbf{I} = \mathbf{X}^T\mathbf{X}$, 尽管 Hermit 矩阵的特征向量一定是复数向量, 但是其特征值可以证明是实数, 此外, 特征向量矩阵可以选择为酉矩阵, 若复矩阵 \mathbf{A} 有 $\mathbf{A}=\mathbf{A}^H$, 那么其特征值分解为:

$$\mathbf{A} = \mathbf{X}\mathbf{\Lambda}\mathbf{X}^H$$

10.5 对称矩阵和埃米尔特(Hermitian)矩阵

这里我们假定一个实对称矩阵 A , 有 $A=A^T$

$$A=[1,2;2,1]$$

$A =$

$$\begin{bmatrix} 1 & 2 \\ 2 & 1 \end{bmatrix}$$

$[V,G]=\text{eig}(A)$

$V =$

$$\begin{bmatrix} -0.7071 & 0.7071 \\ 0.7071 & 0.7071 \end{bmatrix}$$

$G =$

$$\begin{bmatrix} -1 & 0 \\ 0 & 3 \end{bmatrix}$$

这里的 V 是特征向量矩阵, 也就是上式中的 X , 可以验证, 特征向量矩阵 V 就是一个正交阵:

$$V*V$$

ans =

$$\begin{bmatrix} 1.0000 & 0 \\ 0 & 1.0000 \end{bmatrix}$$

我们再看 $A=X\Lambda X^T$ 公式是否成立

$$V*G*V'$$

ans =

$$\begin{bmatrix} 1.0000 & 2.0000 \\ 2.0000 & 1.0000 \end{bmatrix}$$

10.6 特征值的灵敏度和精度

有的矩阵的特征值对扰动 (Perturbation) 很敏感, 矩阵元素的微小变化就可能导致特征值的巨大变化, 由浮点算法计算特征值的舍入误差也可能是特征值的变化被放大。

为了简单的理解灵敏度 (Sensitivity), 假如矩阵 \mathbf{A} 具有线性无关特征向量完备集 (full set of eigenvectors), 并且有特征值分解:

$$\mathbf{A} = \mathbf{X}\mathbf{\Lambda}\mathbf{X}^{-1}$$

也可以重新表达成:

$$\mathbf{\Lambda} = \mathbf{X}^{-1}\mathbf{A}\mathbf{X}$$

加上由于 $\mathbf{\Lambda}$ 的变动 $\delta \mathbf{\Lambda}$ 导致 \mathbf{A} 的变动 $\delta \mathbf{A}$:

$$\mathbf{\Lambda} + \delta \mathbf{\Lambda} = \mathbf{X}^{-1}(\mathbf{A} + \delta \mathbf{A})\mathbf{X}$$

则有:

$$\delta \mathbf{\Lambda} = \mathbf{X}^{-1}\delta \mathbf{A}\mathbf{X}$$

$$\|\delta \mathbf{\Lambda}\| \leq \|\mathbf{X}^{-1}\| \|\delta \mathbf{A}\| \|\mathbf{X}\| = \|\mathbf{X}^{-1}\| \|\mathbf{X}\| \|\delta \mathbf{A}\| = \kappa(\mathbf{X}) \|\delta \mathbf{A}\|$$

$\kappa(\mathbf{X})$ 就是第二章线性方程组中引入的矩阵条件数, 关键因素是特征向量矩阵 \mathbf{X} 的条件,

而非 \mathbf{A} 自身的条件。扰动 $\|\delta \mathbf{A}\|$ 将被放大 $\kappa(\mathbf{X})$ 表征在 $\|\delta \mathbf{\Lambda}\|$ 中, 由此可以推出大体上正确的

结论: 特征值的灵敏度可以用特征向量矩阵的条件数来进行估计的。

10.6 特征值的灵敏度和精度

我们可以利用函数`condest`来估计特征值向量的条件数。

```
A=gallery(3)
[X,lambda]=eig(A)
condest(X)
```

```
A=gallery(3)
```

```
A =
-149 -50 -154
 537 180 546
 -27  -9 -25
```

```
[X,lambda]=eig(A)
```

```
X =
```

```
 0.3162 -0.4041 -0.1391
-0.9487  0.9091  0.9740
-0.0000  0.1010 -0.1789
```

```
lambda =
```

```
 1.0000    0    0
    0  2.0000    0
    0    0  3.0000
```

```
condest(X)
```

```
ans =
```

```
1.2002e+03
```

这就是意味着`gallery(3)`中一个扰动可能会被放大到`1.2E3`倍后形成特征值扰动。这说明，`gallery(3)`的特征值为轻微坏条件（**badly conditioned**）。

10.7 奇异值的灵敏度和精度

奇异值灵敏度比特征值灵敏度容易表征得多，奇异值问题总是有较好的条件，扰动分析及下列所示的方程：

$$\Sigma + \delta\Sigma = U^H (A + \delta A) V$$

由于 U 和 V 是正交阵或者酉矩阵，所以它们的范数不变，这是正交矩阵的保范性，结果为 $\|\delta\Sigma\| = \|\delta A\|$ 。任何矩阵中的任何大小的扰动会引起奇异值中“大小相仿”的扰动，没有必要为奇异值定义条件数，原因是它们总是等于 1。MATLAB 的 SVD 计算出的奇异值总能达到满精度（full accuracy）水平。

我们必须小心翼翼的理解大小相仿和满精度的含义，扰动和精度是相对于矩阵范数或如下最大奇异值测度的：

$$\|A\|_2 = \sigma_1$$

那些较小奇异值的精度都是相对于最大奇异值测度的，若奇异值大小的变化幅度有几个量级，那么较小奇异值就不会有相对于自身的满精度。

10.8 约当型和舒尔型

特征值分解是力图找到一个对角矩阵 Λ 和一个非奇异矩阵 X ,使得:

$$A = X\Lambda X^{-1}$$

在此,特征值分解存在两个困难,理论困难是:这种分解并非始终存在。数值困难是:即使这种分解存在,也可能找不到可供稳健计算的基。

分解不存在的那种困难的解决办法是,找尽可能接近对角阵的矩阵替代,这就引出了约当标准型 (**Jordan canonical form, JCF**)。稳健性困难的解决方法是,用三角阵 (**triangular matrix**) 替代对角阵,并使用正交或酉变换,这就引出了舒尔型 (**Schur form**)。

退化矩阵 (**defective matrix**) 是:至少包含一个线性无关特征向量集不完备的多重特征值的矩阵, **Gallery(5)**是人为构造的一个退化矩阵,它的五个特征值都是 0,然而,当我们使用特征值计算命令计算时,由于浮点运算而产生了很大误差,特征值并不为 0.

10.8 约当型和舒尔型

```
>> gallery(5)
```

```
A =
```

```
    -9    11   -21    63   -252  
    70   -69   141   -421   1684  
  -575   575  -1149   3451  -13801  
  3891  -3891   7782  -23345   93365  
  1024  -1024   2048   -6144  24572
```

```
>> eig(A)
```

```
ans =  
-0.0347 + 0.0258i  
-0.0347 - 0.0258i  
0.0138 + 0.0401i  
0.0138 - 0.0401i  
0.0419 + 0.0000i
```

约当标准型 JCF

$$A = XJX^{-1}$$

JCF 的满意的数值替代是舒尔型，任何矩阵都可以通过酉相似变换成为上三角形式：

$$B = T^H A T$$

矩阵 **A** 的特征值位于舒尔型 **B** 的对角线上，由于酉矩阵具有最完美的条件，所以它们不会放大任何误差。

10.8 约当型和舒尔型

例如：

```
A=gallery(3)
[T,B]=schur(A)
```

```
T =
-0.3162  0.6529  0.6882
 0.9487  0.2176  0.2294
 0.0000 -0.7255  0.6882
```

```
B =
 1.0000 -7.1119 815.8706
 0  2.0000 55.0236
 0  0  3.0000
```

B的对角线上元素就是**A**的特征值，若**A**为对称矩阵，那么**B**应该是对角阵，因此，舒尔型**B**中非对角线上的大值元素可衡量**A**矩阵对称性的缺失程度。

```
A=gallery(5);
[T,B]=schur(A)
T =
 0.0000 -0.3485  0.6881 -0.6362  0.0147
-0.0206 -0.7780  0.1658  0.6049 -0.0299
 0.1397 -0.5191 -0.6973 -0.4681  0.0755
-0.9574 -0.0607 -0.1109 -0.0924 -0.2427
-0.2519  0.0065  0.0213  0.0418  0.9666
B =
1.0e+05 *
-0.0000  0.0036 -0.0123  0.0252 -1.0099
-0.0000 -0.0000  0.0001 -0.0001  0.0045
 0  0 -0.0000  0.0000 -0.0011
 0  0  0  0.0000  0.0004
 0  0  0 -0.0000  0.0000
```

这个时候我们看到**gallery(5)**的舒尔矩阵的对角线的值为5个0，另外，右上角的值非常大，可见对称性严重缺失。

10.9 QR算法

QR 算法是重要性最高、应用最广泛、最成功的工程计算工具，在 **MATLAB** 的数学内核中，包含了不同实施方法的 **QR** 算法的几个变种，它们分别用于计算实数对称、非对称矩阵的特征值，计算复数矩阵的 **Q** 酉矩阵和 **R** 上三角阵，用于计算一般矩阵的奇异值，这些 **M** 函数通常用于多项式的求根、特殊线性方程组求解、稳定性评估中。

QR 算法的基础在于反复使用 **QR** 分解，**Q** 表示正交或酉矩阵，**R** 表示右（或上）三角矩阵，**MATLAB** 中的函数能把任何矩阵，实矩阵或者复矩阵，方阵或非方阵分解成为正交规范矩阵 **Q** 和上三角矩阵 **R** 的乘积。

利用 **QR** 函数，把 **QR** 算法最简单变种“单步位移法”编写成 **MATLAB** 的单行码，先运行：

```
A=gallery(3)
```

```
n=size(A,1)
```

```
I=eye(n,n)
```

此后，单步位移 **QR** 迭代的每步可执行如下：

```
s=A(n,n); [Q,R]=qr(A-s*I); A=R*Q+s*I
```

10.9 QR算法

假如你把上述命令写在一行中，就可以反复迭代， s 就是位移量，可以加速收敛，QR 分解是矩阵三角化：

$$A - sI = QR$$

两边分别乘以： Q^{-1}

$$Q^{-1}(A - sI) = Q^{-1}QR = R$$

存在有：

$$Q^{-1} = Q^T$$

代入得到：

$$R = Q^T(A - sI)$$

然后，进行 QR 反序相乘就可以恢复出特征值，原因是：

$$RQ + sI = Q^T(A - sI)Q + sI = Q^T A Q - Q^T \cdot sI \cdot Q + sI$$

所以新 A 阵正交相似于原 A 阵，每次迭代都能有效的把下三角的一些质量转移到上三角，同时保持特征值不变，随着迭代的反复进行，该矩阵就不断逼近上三角矩阵，而使得特征值恰好显示于对角线上。

10.9 QR算法

A=gallery(3)

A =

-149 -50 -154
537 180 546
-27 -9 -25

A的QR分解结果是:

[Q,R] = qr(A)

Q =

-0.2671 -0.7088 0.6529
0.9625 -0.1621 0.2176
-0.0484 0.6865 0.7255

R =

557.9418 187.0321 567.8424
0 0.0741 3.4577
0 0 0.1451

利用了QR分解算法，将矩阵 $A-s*I$ 的进行QR分解，不断逼近上三角矩阵，特征值就恰好显示于上三角矩阵。

分步迭代，第一次迭代:

A =

28.8263 -259.8671 773.9292
1.0353 -8.6686 33.1759
-0.5973 5.5786 -14.1578

第二次迭代:

A =

11.8153 -128.8377 -807.3201
0.0629 0.2505 -13.9212
0.1140 -1.3579 -6.0659

第三次迭代:

A =

6.2154 -64.6615 815.1030
-0.0491 1.6089 10.8801
-0.0271 0.3363 -1.8244

第五次迭代:

A =

2.7137 -10.5427 -814.0932
-0.0767 1.4719 -76.5847
0.0006 -0.0039 1.8144

第十次迭代

A =

3.0716 -7.6952 802.1201
0.0193 0.9284 158.9554
-0.0000 0.0000 2.0000

其中一个特征值已经满精度算出，并且对角线下紧挨的元素已经为0，所以，只用再计算左上的2x2的矩阵了。

10.10 QR算法演示界面eigsvdgui

eigsvdgui Demonstrate computation of matrix eigenvalues and singular values. eigsvdgui shows three variants of the QR algorithm.

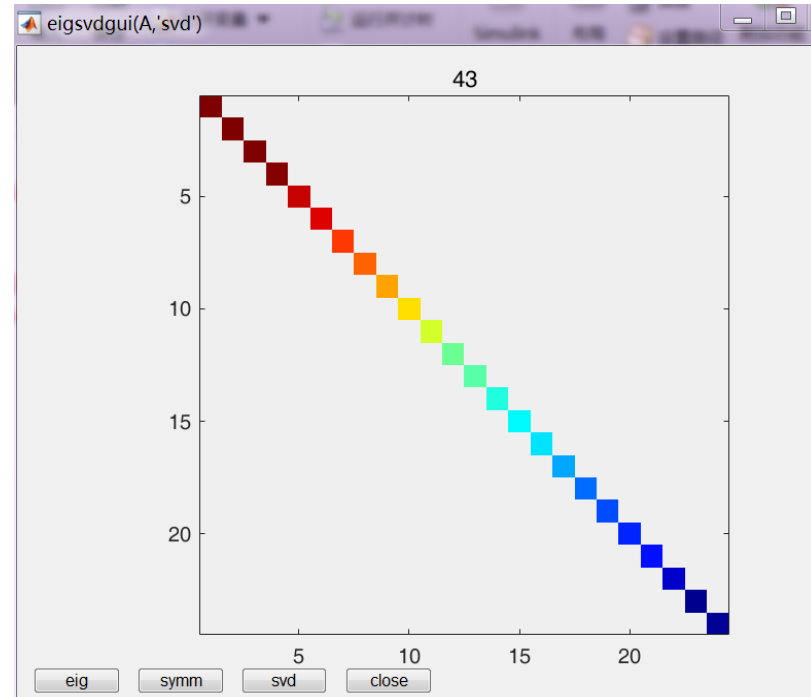
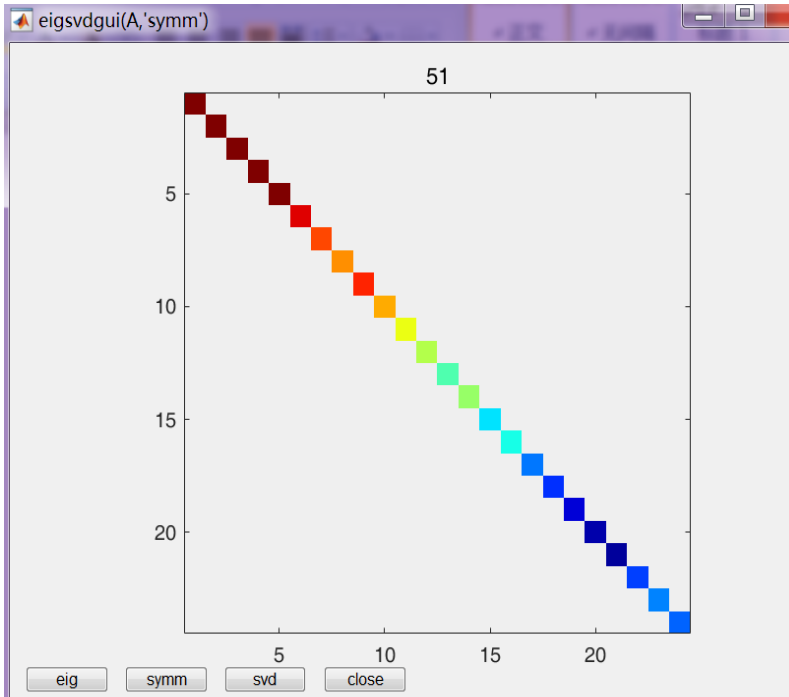
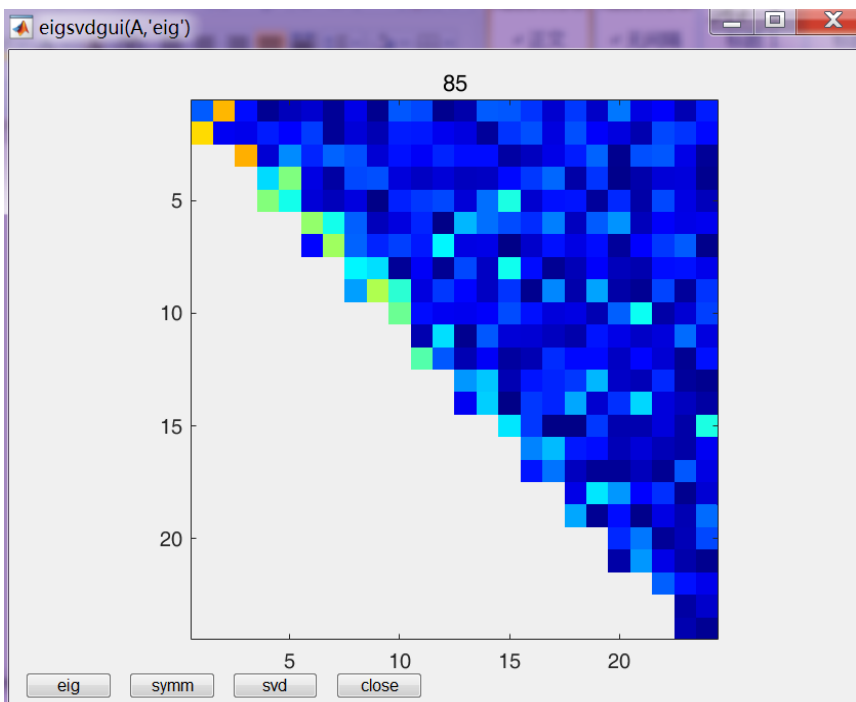
eigsvdgui(A) for square, nonsymmetric A , or **eigsvdgui(A,'eig')**, reduces A to Hessenberg form, then applies a double-shift, eigenvalue-preserving QR algorithm. The result is the real Schur block upper triangular form, with one-by-one diagonal blocks for real eigenvalues and two-by-two diagonal blocks for pairs of complex eigenvalues.

eigsvdgui(A) for square, symmetric A , or **eigsvdgui(A,'symm')**, reduces the symmetric part, $(A+A')/2$, to tridiagonal form, then applies a single-shift, eigenvalue-preserving QR algorithm. The result is a diagonal matrix containing the eigenvalues, which are all real.

eigsvdgui(A) for rectangular A , or **eigsvdgui(A,'svd')**, reduces A to bidiagonal form, then applies a single-shift QR algorithm that preserves the singular values. The result is a diagonal matrix containing the singular values.

If A is symmetric and positive definite, the three variants compute the same final diagonal matrix by three different algorithms.

10.10 QR算法演示界面eigsvdgui



一直做保持特征值不变的相似变换，这是第一阶段，对角线下方的元素均变换到0，形成上三角矩阵。

第二个阶段是利用QR算法在第一次对角线上引入0，实非对称矩阵一般都有一些复特征值，所以不可能被变换成上三角舒尔型

SVD

10.11 主成分分析

主成分（或主分量）分析（**Principal Component Analysis, PCA**）,通过一系列简单矩阵的计算来近似一个一般矩阵，这里是指秩为一的矩阵，所有的行都是差一个倍数，所有的列也是，令 A 是一个任意实 $m \times n$ 矩阵，简化的 **SVD** 为：

$$A = U \Sigma V^T$$

也可以重写成：

$$A = E_1 + E_2 + \cdots + E_p$$

其中 $p = \min(m, n)$ ，分量矩阵 E_k 是秩一外积：

$$E_k = \sigma_k u_k v_k^T$$

E_k 的每一列都是矩阵 U 第 k 列 u_k 的倍数，每一行是矩阵 V 第 k 列的转置 v_k^T 的倍数，这些分量彼此还是正交的。

$$E_j E_k^T = 0, \quad j \neq k$$

每个分量矩阵的范数是对应的奇异值

$$\|E_k\| = \sigma_k$$

10.11 主成分分析

每个分量矩阵 E_k 在重建矩阵 A 时所起的作用由奇异值 σ_k 决定

如果只取前面 $r < p$ 项求和,

$$A_r = E_1 + E_2 + \cdots + E_r$$

结果是原始矩阵 A 称为 r 的近似矩阵, 事实上, A_r 是所有秩为 r 的矩阵中与 A 最接近, 可以证明这种近似误差是:

$$\|A - A_r\| = \sigma_{r+1}$$

因为奇异值是降序的, 所以近似的精度随着秩的增加而增加。

PCA 的应用非常广泛, 它的描述有很多种, 可能最常见的是用交叉乘积矩阵 $A^T A$ 的特征值和特征向量来描述, 因为:

$$A^T A V = V \Sigma^2$$

矩阵 V 的列就是 $A^T A$ 的特征向量, 矩阵 U 的列向量, 经过奇异值变换后, 从下式获得:

$$U \Sigma = A V$$

矩阵 A 通常通过减去列的平均值然后除以它们的标准差来标准化(standardized), 这样交叉乘积矩阵就是相关矩阵了。

10.11 主成分分析

PCA的简单例子，一个没有经过修改的矩阵A，假设我们度量六个物体的高度和重量并得到下面的数据：

$A=[47,15;93,35;53,15;45,10;67,27;42,10]$

A =
47 15
93 35
53 15
45 10
67 27
42 10

我们期待发现高度和重量的关联，认为存在一个潜在的分量，比如“尺寸”，它能够同时预测高度和重量。

$[U,S,V]=\text{svd}(A,0)$

U =
-0.3153 0.1056
-0.6349 -0.3656
-0.3516 0.3259
-0.2929 0.5722
-0.4611 -0.4562
-0.2748 0.4620

S =

156.4358 0
0 8.7658

V =

-0.9468 0.3219
-0.3219 -0.9468

$\text{sigma}=\text{diag}(S)$

sigma =

156.4358
8.7658

注意到 $\sigma_1=156.4$ ，比 $\sigma_2=8.7$ 要大很多，A的秩一近似为：

$E1=\text{sigma}(1)*U(:,1)*V(:,1)'$

E1 =
46.7021 15.8762
94.0315 31.9657
52.0806 17.7046
43.3857 14.7488
68.2871 23.2139
40.6964 13.8346

$E2=\text{sigma}(2)*U(:,2)*V(:,2)'$

E2 =
0.2979 -0.8762
-1.0315 3.0343
0.9194 -2.7046
1.6143 -4.7488
-1.2871 3.7861
1.3036 -3.8346

$B=E1+E2$

B =
47.0000 15.0000
93.0000 35.0000
53.0000 15.0000
45.0000 10.0000
67.0000 27.0000
42.0000 10.0000

可以发现 $A=B=E1+E2$

换句话说，潜在的单一主分量是

$\text{size}=\text{sigma}(1)*U(:,1)$

size =
-49.3269
-99.3163
-55.0076
-45.8240
-72.1250
-42.9837

这个分量就是降维成一维后的判断标准。

10.11 主成分分析

由下式，这两个被测量就可以很好的近似

```
height=size*V(1,1)
```

```
height =
```

```
46.7021  
94.0315  
52.0806  
43.3857  
68.2871  
40.6964
```

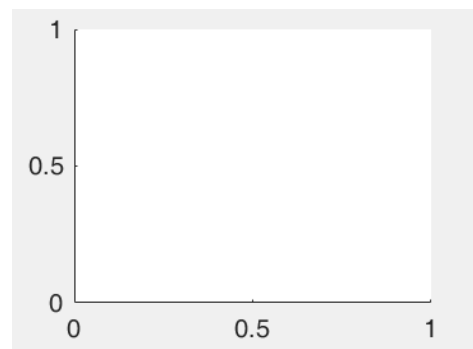
```
weight=size*V(2,1)
```

```
weight =
```

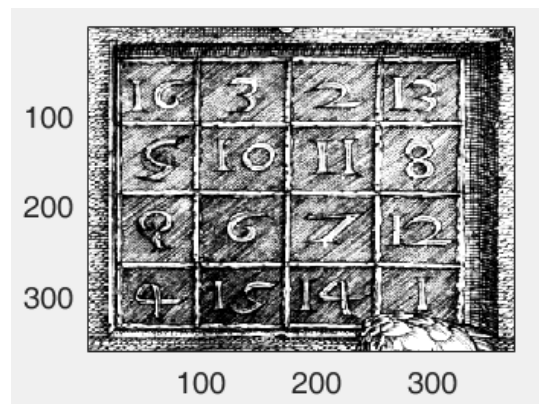
```
15.8762  
31.9657  
17.7046  
14.7488  
23.2139  
13.8346
```

一个更大的示例教学涉及数字图像处理技术（**Digital Image Processing**）,运行以下语句：

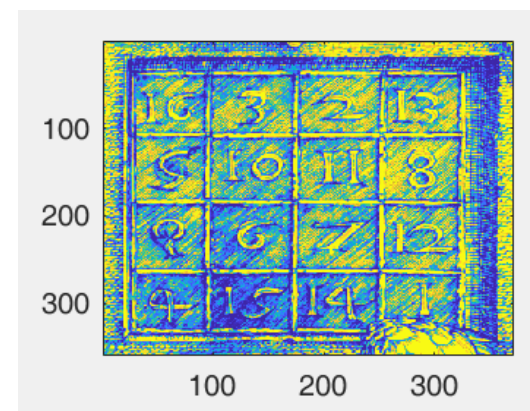
```
load detail  
subplot(2,2,1)
```



```
colormap(gray(64))
```



```
image(X)
```



```
axis image, axis off
```

```
r=rank(X)
```

```
r =
```

```
359
```

```
title(['rank=', 'int2str(r)])
```

```
[U,S,V]=svd(X,0)
```

```
sigma=diag(S)
```

10.12 圆生成器

下面的算法曾应用于带图像显示仪的主机画圆

x=32768

y=0

L: load y

shift right 5 bits

add x

store in x

change sign

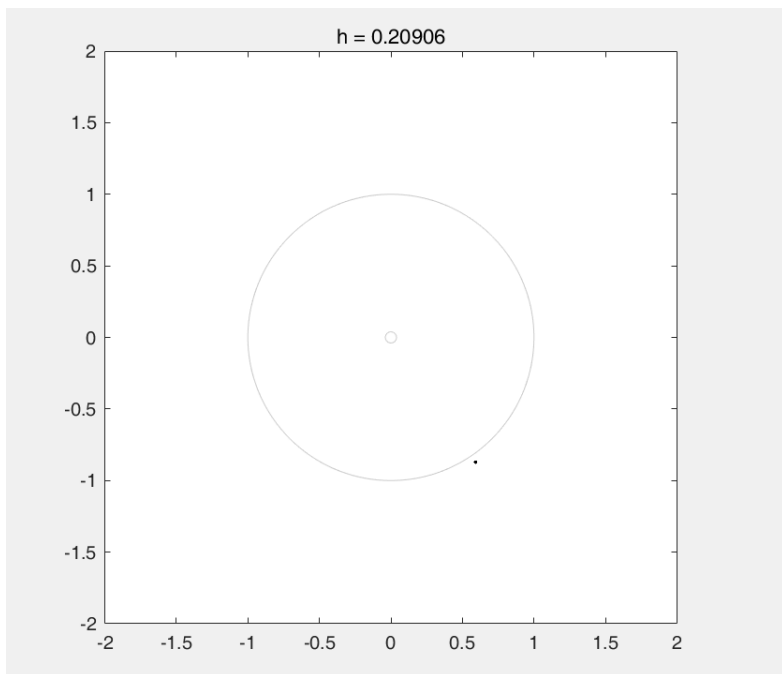
shift right 5 bits

add y

store in y

plot x y

go to L



画圆的**MATLAB**的代码，注意，和教材上的代码有所不同，直接使用教材的代码是跳动的，不能成圆，需要改进，代码主要加了：

1) 加了坐标轴的区间限制，**set**语句

2) 加了显示点保留的限制，**hold on**语句

h=1/32;

x=1;

y=0;

while 1

x=x+h*y;

y=y-h*x;

plot(x,y,'.');

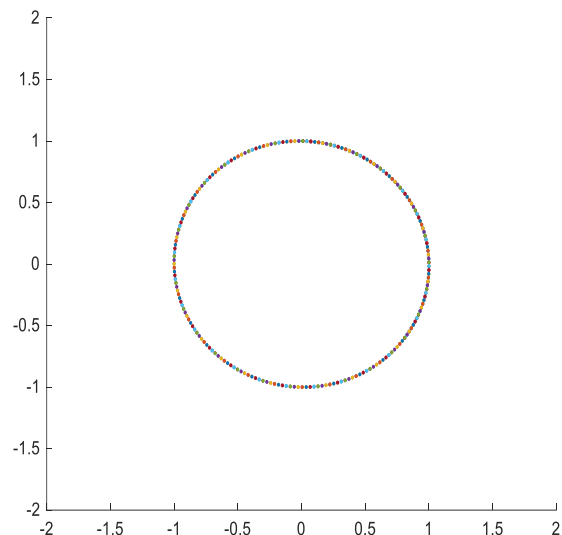
set(gca,'XLim',[-2 2]);

set(gca,'YLim',[-2 2]);

drawnow

hold on

end



执行**Circlegen**能让我们用不同的步长**h**进行试验，默认**h=0.20906**，也可以取不同的**h**，比如**circlegen(0.1)**

10.12 圆生成器

假如我们用 (x_n, y_n) 来表示生成的第 n 个点，那么迭代的过程就是

$$x_{n+1} = x_n + hy_n$$

$$y_{n+1} = y_n - hx_{n+1}$$

如果将第二个方程中的 x_{n+1} ，使用第一个方程中的公式代入，得到：

$$x_{n+1} = x_n + hy_n$$

$$y_{n+1} = y_n - hx_{n+1} = y_n - h(x_n + hy_n) = -hx_n + (1 - h^2)y_n$$

把它转换成矩阵-向量表示方式，用 x_n 记述第 n 点处的 2 维向量（其实就是用 x_n 代替

$(x_n, y_n)'$ ），用 A 记述成圆(Circle generator)矩阵：

$$A = \begin{pmatrix} 1 & h \\ -h & 1-h^2 \end{pmatrix}$$

迭代过程记为：

$$x_{n+1} = Ax_n$$

进一步就可以写成：

$$x_{n+1} = A^n x_0$$

对于大多数矩阵 A 而言， A^n 的性状由它的特征值决定。

可生成对角(diagonal)特征值矩阵 A 及其对应的特征向量矩阵 X ，使得：

$$AX = X\Lambda$$

若有 X^{-1} 存在，则有：

$$A = X\Lambda X^{-1}$$

并且有：

$$A^n = X\Lambda^n X^{-1}$$

因此， A^n 有界的条件是：特征向量矩阵非特异，并且作为 A 阵对角元的特征值 $|\lambda_k| \leq 1$ ，

在此，有一个简单的试验，运行下面的单行代码：

```
h=2*rand, A=[1 h; -h 1-h^2], lambda=eig(A), abs(lambda)
```

```
h=2*rand, A=[1 h; -h 1-h^2], lambda=eig(A), abs(lambda)
```

```
h =
```

```
1.6294
```

```
A =
```

```
1.0000 1.6294
```

```
-1.6294 -1.6551
```

```
lambda =
```

```
-0.3275 + 0.9448i
```

```
-0.3275 - 0.9448i
```

```
ans =
```

```
1
```

```
1
```

反反复复操作，可以相信如下结论：

对于 $0 < h < 2$ 区间内的任何 h ，成圆矩阵 A 的特征值都是模为 1 的复数。

10.12 圆生成器

符号工具包能给该结论提供某些帮助。

```
syms h
```

```
A=[1 h; -h 1-h^2]
```

```
lambda=eig(A)
```

```
A =
```

```
[ 1,      h]
```

```
[-h, 1 - h^2]
```

```
lambda =
```

```
1 - h^2/2 - (h*((h - 2)*(h + 2))^(1/2))/2
```

```
(h*((h - 2)*(h + 2))^(1/2))/2 - h^2/2 + 1
```

```
ans =
```

```
abs((h*((h - 2)*(h + 2))^(1/2))/2 + h^2/2 - 1)
```

```
abs((h*((h - 2)*(h + 2))^(1/2))/2 - h^2/2 + 1)
```

若 $|h| < 2$,

```
d=det(A)
```

```
d =
```

```
1
```

```
d=simple(prod(lambda))
```

特征值 λ 就是复数并且它们的乘积为 **1**，所以一定有：

因为有：

$$\lambda = 1 - h^2 / 2 \pm h\sqrt{-1 + h^2 / 4}$$

这个表达式不是很清楚，似是而非，当我们采用三角函数定义时，有：

$$\cos \theta = 1 - h^2 / 2$$

$$\sin \theta = h\sqrt{1 - h^2 / 4}$$

则有：

$$\lambda = \cos \theta \pm i \sin \theta$$

总之，以上符号证明了 $|h| < 2$ 时，成圆矩阵的特征值为：

$$\lambda = e^{\pm i\theta}$$

这两个特征值各异，因此 **x** 阵必定非奇异，进而有：

$$A^n = X \begin{pmatrix} e^{in\theta} & 0 \\ 0 & e^{-in\theta} \end{pmatrix} X^{-1}$$

如果步长 **h** 取值恰好使得 $\theta = 2\pi / p$ ，**p** 为整数，那么该算法只生成 **p** 个离散点。

成圆代码如何才能越来越接近于真圆呢？事实上，成圆代码产生的是椭圆，随着步长 **h** 的增长，椭圆就越来越接近于真圆，椭圆的纵横比(**aspect ratio**)是它的主、次轴的比。

如下 **2x2** 的微分方程组：

$$\dot{x} = Qx$$

其中

$$Q = \begin{pmatrix} 0 & 1 \\ -1 & 0 \end{pmatrix}$$

的解为一个圆

$$x(t) = \begin{pmatrix} \cos t & \sin t \\ -\sin t & \cos t \end{pmatrix} \cdot x(0)$$

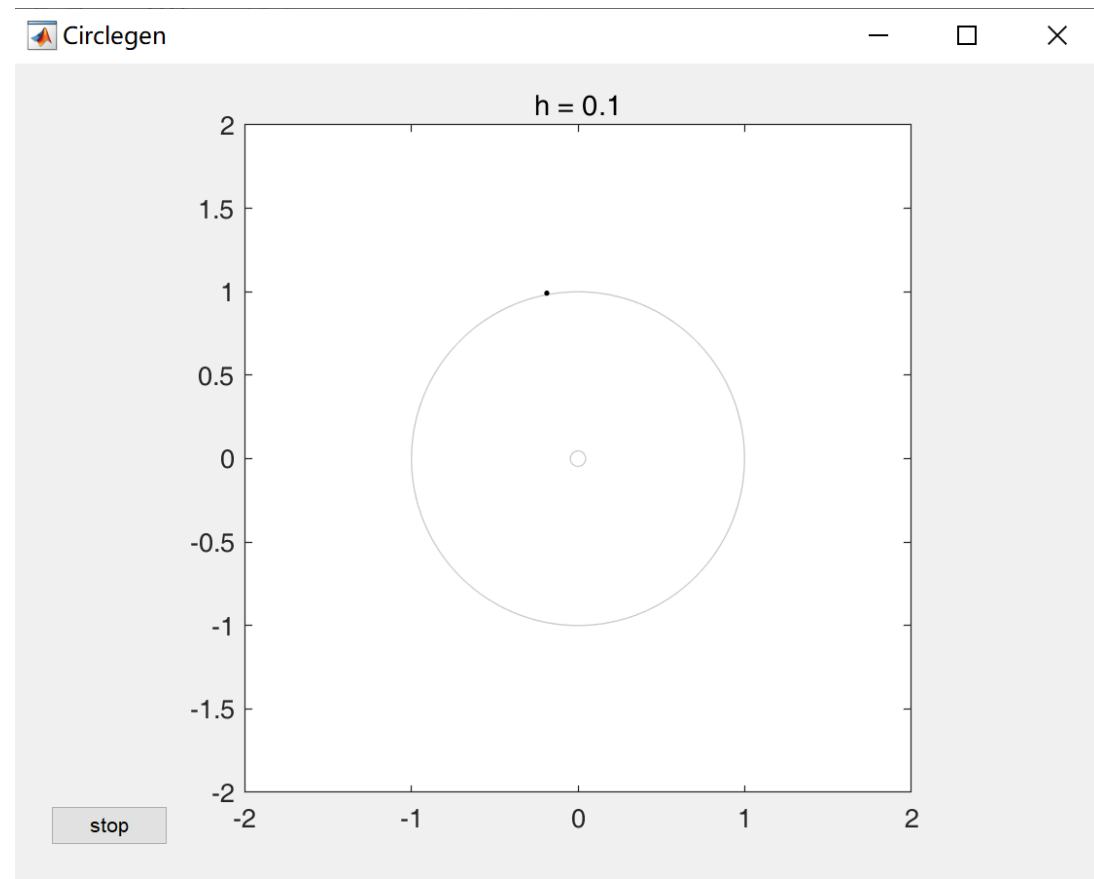
所以迭代矩阵

$$\begin{pmatrix} \cosh & \sinh \\ -\sinh & \cosh \end{pmatrix}$$

可以生成真圆，**cosh** 和 **sinh** 的泰勒级数表明，我们成圆算法的迭代矩阵：

$$A = \begin{pmatrix} 1 & h \\ -h & 1 - h^2 \end{pmatrix}$$

会随着 **h** 的减小而逼近于真圆。



感谢聆听,欢迎讨论!